

# Desarrollo Laboratorio 2 - Robótica 2021-II

Edgar Alejandro Ruíz Velasco

Jesus Daniel Caballero Colina

Jhohan David Contreras Aragón

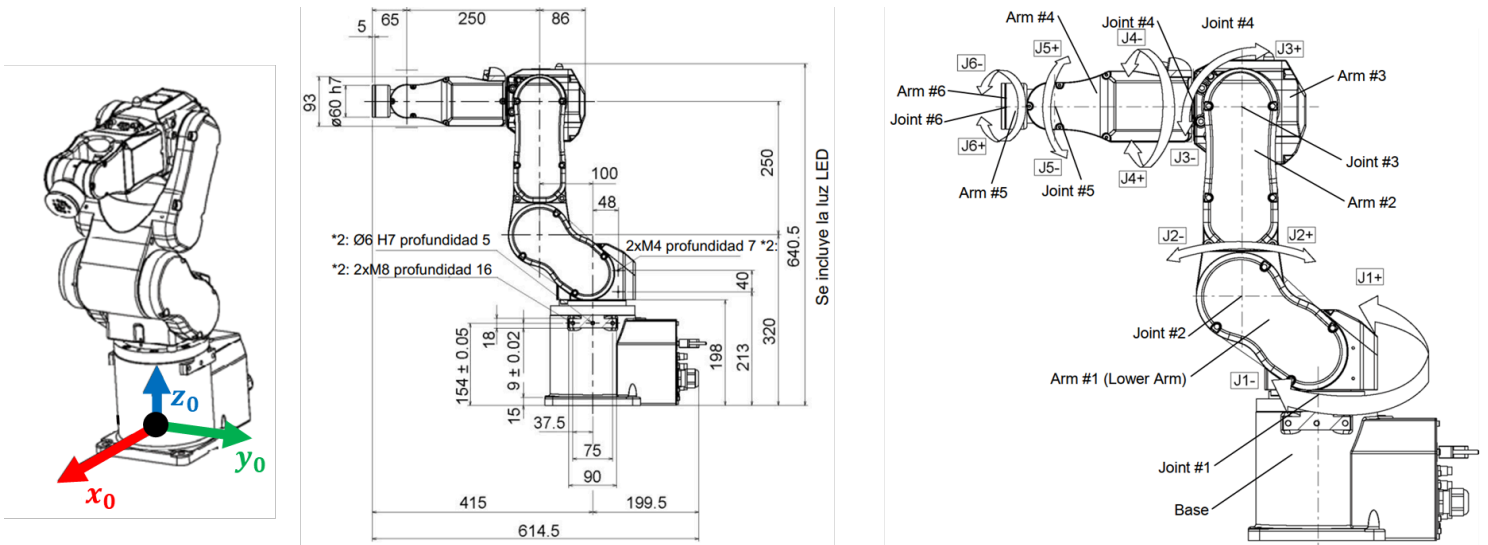
Para este equipo de trabajo se asignó el robot industrial *Epson C4*

**Punto 1.** Determine el modelo geométrico inverso del robot asignado haciendo uso de la metodología explicada en clase. Haga una descripción detallada del proceso haciendo uso de imágenes y dibujos que ayuden visualizar de dónde provienen las ecuaciones encontradas.

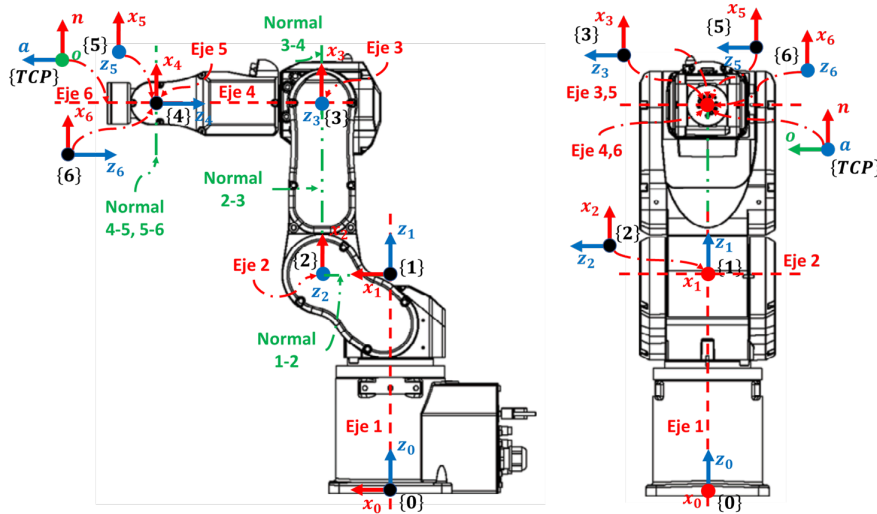
(Ver punto 2)

**Punto 2.** En las soluciones de la inversa incluya consideraciones respecto a multiplicidad de soluciones.

Para el robot asignado se tiene las siguientes medidas y movimientos:



Con las gráficas anterior se realiza la ubicación de MTH y determinación de parámetros DH:



i	$\alpha_{i-1}$	$a_{i-1}$	$d_i$	$\theta_i$	Offset
1	0	0	320	$J_1$	0
2	$\pi/2$	100	0	$J_2$	$\pi/2$
3	0	250	0	$J_3$	0
4	$-\pi/2$	0	-250	$J_4$	0
5	$\pi/2$	0	0	$J_5$	0
6	$-\pi/2$	0	0	$J_6$	0

Se observa que las 3 últimas articulaciones (4, 5 y 6) se encuentran en el mismo punto. Aunque la combinación de esas 3 articulaciones no se considere como una junta esférica (y no se pueda aplicar el método Pieper completo) si se puede realizar el método de desacoplamiento cinemático hasta cierto punto. El método a usar es:

1. Hallar la posición del punto p (posición de los sistemas de referencia 4, 5 y 6) mediante las ecuaciones de MTH
2. Por método gráfico, hallar los valores de las 3 primeras articulaciones.
3. Por método analítico, hallar el valor de las últimas articulaciones

### Paso 1:

La ubicación de punto P se halla sabiendo que la pose del TCP está ya determinada. Teniendo que la ubicación de la herramienta es  $X_{TCP} = [x \ y \ z \ \psi \ \theta \ \phi]^T$  (con  $[\theta \ \psi \ \phi]$  ángulos rpy), se halla la matriz de rotación del sistema TCP  $R_{TCP}$ :

$$R_{TCP} = \begin{bmatrix} C\phi \cdot C\theta & C\phi \cdot S\theta \cdot S\psi - S\phi \cdot C\psi & C\phi \cdot S\theta \cdot C\psi + S\phi \cdot S\psi \\ S\phi \cdot C\theta & S\phi \cdot S\theta \cdot S\psi - C\phi \cdot C\psi & S\phi \cdot S\theta \cdot C\psi - C\phi \cdot S\psi \\ -S\theta & C\theta \cdot S\psi & C\theta \cdot C\psi \end{bmatrix}$$

Además se sabe que la posición de p cumple la ecuación:

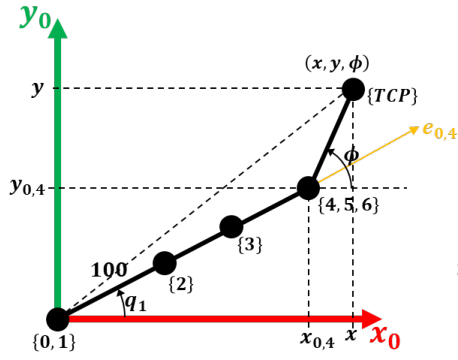
$$X_P = X_{TCP} - R_{TCP} \begin{bmatrix} 0 \\ 0 \\ 65 \end{bmatrix}$$

$$X_P = \begin{bmatrix} x_{0,4} \\ y_{0,4} \\ z_{0,4} \end{bmatrix} = \begin{bmatrix} x - 65 \cdot (C\phi \cdot S\theta \cdot C\psi + S\phi \cdot S\psi) \\ y - 65 \cdot (S\phi \cdot S\theta \cdot C\psi - C\phi \cdot S\psi) \\ z - 65 \cdot (C\theta \cdot C\psi) \end{bmatrix}$$

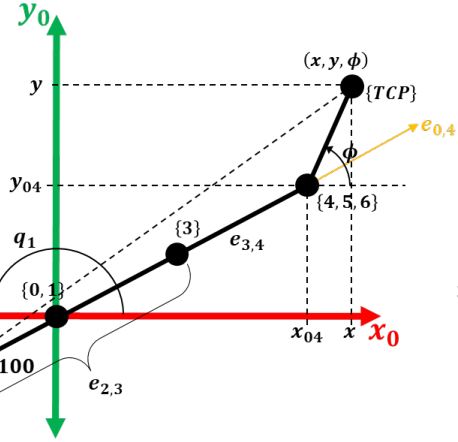
### Paso 2:

Los esquemas simplificados que ilustran la ubicación de cada articulación con relación a sus valores son:

## Vista aérea

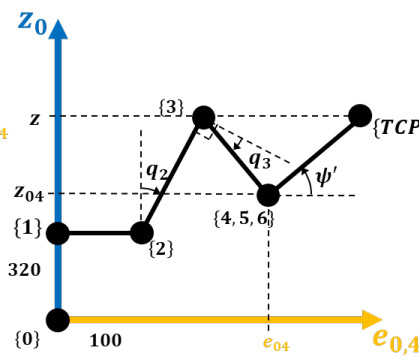


Articulación 1 - Solución 1

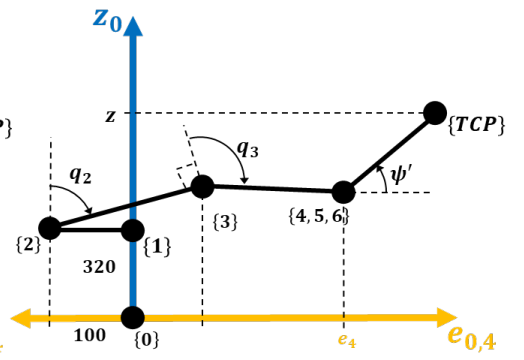


Articulación 1 - Solución 2

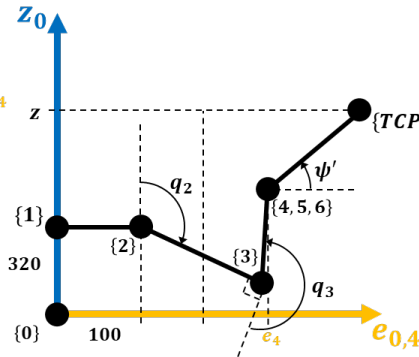
## Vista oblicua (eje e)



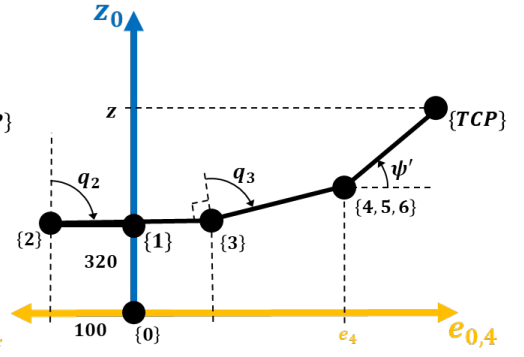
Articulación 2,3 - Solución 1  
(Sol. 1  $\theta_1$  Codo arriba)



Articulación 2,3 - Solución 1  
(Sol. 2  $\theta_1$  Codo arriba)



Articulación 2,3 - Solución 1  
(Sol. 1  $\theta_1$  Codo abajo)

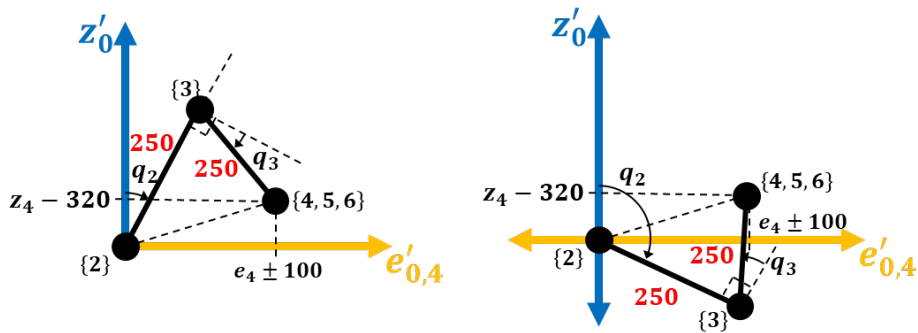


Articulación 2,3 - Solución 1  
(Sol. 2  $\theta_1$  Codo abajo)

Con la vista aérea se tiene que:

$$q_{1;i} = \text{atan2}(y_{0,4}, x_{0,4}) \text{ y } q_{1;ii} = \text{atan2}(y_{0,4}, x_{0,4}) + \pi$$

Con la vista oblicua se tiene siguiente esquema:



Donde:

$$e_4 = \sqrt{x_4^2 + y_4^2}$$

Por teorema de cosenos (y teniendo en cuenta las dos soluciones de  $\theta_1$ ):

$$(e_4 \pm 100)^2 + (z_4 - 320)^2 = 2 \cdot 250^2 - 2 \cdot 250^2 \cdot \cos(180 - (90 + q_3)) = 2 \cdot 250^2(1 + \cos(90 + q_3))$$

$$(e_4 \pm 100)^2 + (z_4 - 320)^2 = 2 \cdot 250^2(1 - \sin(q_3))$$

$$\sin(q_3) = 1 - \frac{(e_4 - 100)^2 + (z_4 - 320)^2}{2 \cdot 250^2} = D_1$$

$$\sin(q_3) = 1 - \frac{(e_4 + 100)^2 + (z_4 - 320)^2}{2 \cdot 250^2} = D_2$$

Es decir que

$$\cos(q_3) = \sqrt{1 - \sin^2(q_3)} = \pm_2 \sqrt{1 - D_1^2} \text{ o } \pm_2 \sqrt{1 - D_2^2}$$

$$q_{3;i,ii} = \text{atan2}(D_1, \pm_2 \sqrt{1 - D_1^2}) \text{ o } q_{3;iii,iv} = \text{atan2}(D_1, \pm_2 \sqrt{1 - D_2^2})$$

Ya teniendo  $q_3$  se puede determinar  $q_2$  por suma de ángulos:

$$q_{2;i,ii} = 90 - \text{atan2}(z_4 - 320, e_4 - 100) - \left(45 + \frac{q_{3;i,ii}}{2}\right) \text{ o } q_{2;iii,iv} = 90 - \text{atan2}(z_4 - 320, e_4 + 100) + \left(45 + \frac{q_{3;iii,iv}}{2}\right)$$

$$q_{2;i,ii} = 45 - \text{atan2}(z_4 - 320, e_4 - 100) - \frac{q_{3;i,ii}}{2} \text{ o } q_{2;iii,iv} = 135 - \text{atan2}(z_4 - 320, e_4 + 100) + \frac{q_{3;iii,iv}}{2}$$

Es decir que las soluciones quedarían:

$$\begin{bmatrix} \text{Sol.} \\ q_1 \\ q_2 \\ q_3 \end{bmatrix} = \begin{bmatrix} \text{Sol. 1} & \text{Sol. 2} & \text{Sol. 3} & \text{Sol. 4} \\ q_{1,i} & q_{1,ii} & q_{1,iii} & q_{1,iv} \\ q_{2,i} & q_{2,ii} & q_{2,iii} & q_{2,iv} \\ q_{3,i} & q_{3,ii} & q_{3,iii} & q_{3,iv} \end{bmatrix}$$

### Paso 3:

Como ya se obtuvo los valores de las 3 primeras articulaciones (de una determinada solución  $k$ ) entonces es conocido el valor de  ${}^0R_3$ :

$${}^0R_3 = {}^0R_1(q_{1,k}) \cdot {}^1R_2(q_{2,k}) \cdot {}^2R_3(q_{3,k}) = \begin{bmatrix} C_1 & -S_1 & 0 \\ S_1 & C_1 & 0 \\ 0 & 0 & 1 \end{bmatrix} \cdot \begin{bmatrix} C\left(q_2 + \frac{\pi}{2}\right) & -S\left(q_2 + \frac{\pi}{2}\right) & 0 \\ 0 & 0 & -1 \\ S\left(q_2 + \frac{\pi}{2}\right) & C\left(q_2 + \frac{\pi}{2}\right) & 0 \end{bmatrix} \cdot \begin{bmatrix} C_3 & -S_3 & 0 \\ S_3 & C_3 & 0 \\ 0 & 0 & 1 \end{bmatrix}$$

$${}^0R_3 = \begin{bmatrix} C_1 & -S_1 & 0 \\ S_1 & C_1 & 0 \\ 0 & 0 & 1 \end{bmatrix} \cdot \begin{bmatrix} -S_2 & -C_2 & 0 \\ 0 & 0 & -1 \\ C_2 & -S_2 & 0 \end{bmatrix} \cdot \begin{bmatrix} C_3 & -S_3 & 0 \\ S_3 & C_3 & 0 \\ 0 & 0 & 1 \end{bmatrix}$$

$${}^0R_3 = \begin{bmatrix} -C_1C_2S_3 - C_1S_2C_3 & C_1S_2S_3 - C_1C_2C_3 & S_1 \\ -S_1C_2S_3 - S_1S_2C_3 & S_1S_2S_3 - S_1C_2C_3 & -C_1 \\ C_2C_3 - S_2S_3 & -C_2S_3 - S_2C_3 & 0 \end{bmatrix}$$

Y por la orientación de la disposición de las 3 últimas articulaciones se sabe que la matriz de rotación desde el sistema 3 al sistema TCP (colocandolos en un mismo origen)  ${}^3R_{TCP}$  tendría un valor de:

$${}^3R_{TCP} = R_{eul,ZYZ}(-q_4, -q_5, -q_6) \cdot R_x(\pi) = \begin{bmatrix} -S_4S_6 + C_4C_5C_6 & S_4C_6 + C_4C_5S_6 & -C_4S_5 \\ -C_4S_6 - S_4C_5C_6 & C_4C_6 - S_4C_5S_6 & S_4S_5 \\ S_5C_6 & S_5S_6 & C_5 \end{bmatrix} \cdot \begin{bmatrix} 1 & 0 & 0 \\ 0 & -1 & 0 \\ 0 & 0 & -1 \end{bmatrix}$$

$${}^3R_{TCP} = \begin{bmatrix} -S_4S_6 + C_4C_5C_6 & -S_4C_6 - C_4C_5S_6 & C_4S_5 \\ C_4S_6 + S_4C_5C_6 & C_4C_6 - S_4C_5S_6 & S_4S_5 \\ -S_5C_6 & S_5S_6 & C_5 \end{bmatrix}$$

Es decir que  ${}^3R_{TCP}$  deseado en termino de  $X_{TCP}$  y las 3 primeras articulaciones es:

$${}^3R_{TCP}^* = {}^0R_3^T \cdot {}^0R_{TCP} = \begin{bmatrix} -C_1C_2S_3 - C_1S_2C_3 & C_1S_2S_3 - C_1C_2C_3 & S_1 \\ -S_1C_2S_3 - S_1S_2C_3 & S_1S_2S_3 - S_1C_2C_3 & -C_1 \\ C_2C_3 - S_2S_3 & -C_2S_3 - S_2C_3 & 0 \end{bmatrix}^T \cdot \begin{bmatrix} C\phi \cdot C\theta & C\phi \cdot S\theta \cdot S\psi - S\phi \cdot C\psi & C\phi \cdot S\theta \cdot C\psi + S\phi \cdot S\psi \\ S\phi \cdot C\theta & S\phi \cdot S\theta \cdot S\psi - C\phi \cdot C\psi & S\phi \cdot S\theta \cdot C\psi - C\phi \cdot S\psi \\ -S\theta & C\theta \cdot S\psi & C\theta \cdot C\psi \end{bmatrix}$$

$${}^3R_{TCP}^* = \begin{bmatrix} a_{11} & a_{12} & a_{13} \\ a_{21} & a_{22} & a_{23} \\ a_{31} & a_{32} & a_{33} \end{bmatrix}$$

E igualando  ${}^3R_{TCP}^*$  y  ${}^3R_{TCP}$ , se puede obtener las siguientes igualdades:

$$q_4 = \text{atan2}(a_{23}, a_{13})$$

$$q_5 = \text{atan2}(a_{31}^2 + a_{32}^2, a_{33})$$

$$q_6 = \text{atan2}(a_{32}, -a_{31})$$

Estas ecuaciones se implementaron en el archivo EpsonC4\_IC.m

**Punto 3.** Haga uso de las funciones del RVC para hallar la cinemática inversa de su robot asignado y compruebe los resultados del punto anterior. Ya que existen varias funciones en el *Toolbox* explique:

**¿Cuál es la diferencia entre estas funciones?**

En la librería RVC se encuentran concretamente siete funciones que pueden ser usadas para calculos de cinemática inversa. La función **ikcon** indica una de las configuraciones posibles de valores de las articulaciones que permite obtener la pose deseada, esto mediante una solución numérica con límites en las articulaciones. Las funciones **ikine** y **ikunc** también utilizan soluciones numéricas pero sin restricciones en las articulaciones. La función **ikine3** permite obtener a partir de una entrada que especifique las pose de el

efector final una solución analítica para robots de tres ejes sin muñeca como puede ser el caso de robots desacoplados cinemáticamente. La función **ikine6s** mediante solución analítica calcula a partir de una pose una configuración de posiciones de las articulaciones para robots de seis ejes con muñeca esférica. La función **ikine\_sym** permite calcular mediante variables simbólicas las diferentes posibles configuraciones siendo la herramienta más general para la obtención de soluciones analíticas algebraicas. Finalmente la función **ikinem** permite obtener una solución numérica a partir de una pose utilizando el minimizador Levenberg-Marquadt.

### ¿Cuál debe usar para su robot y por qué? (Revise la documentación del *Toolbox*)

Para éste caso se opta por el uso de funciones que calculen analíticamente debido a que las soluciones numéricas son generalmente más lentas que las cerradas, usaremos **ikine\_sym** para calcular una solución mediante variables simbólicas y posteriormente se pensó en usar la función **ikine6s** para casos puntuales dado que en su construcción está pensada para nuestro caso específico, es decir un robot de seis ejes con muñeca de articulación esférica, sin embargo solo funciona para modelos construidos mediante la convención Denavit-Hartenberg estándar, por este motivo se optó por el uso de una solución numérica, concretamente **ikcon** la cual permite tener en cuenta los límites de las articulaciones.

Para el uso de la función **ikine\_sym** se desglosa el robot en dos partes con tres grados de libertad cada una determinando orientación y posición del efector final de forma independiente y así obtener para las primeras tres articulaciones las dos soluciones analíticas de cada articulación para la determinación de una posición arbitraria y luego para las últimas tres que conforman una articulación esférica sus respectivas soluciones para la determinación de la orientación del efector final.

```
T6b = trotx(pi)*transl([0 0 6.5]);
T6b=[1 0 0 0; 0 -1 0 0; 0 0 -1 -6.5; 0 0 0 1];

% MDHm(thetai, di, ai-1, alpha-1, sigma, offset)
Links(1) = Link('revolute','alpha',0, 'a',0, 'd',32, 'offset',0,'modified', 'qlim',[-17*pi/1
Links(2) = Link('revolute','alpha',pi/2, 'a',10,'d',0, 'offset',pi/2,'modified', 'qlim',[-8*pi
Links(3) = Link('revolute','alpha',0, 'a',25,'d',0, 'offset',0, 'modified', 'qlim',[-17*pi
Links(4) = Link('revolute','alpha',-pi/2,'a',0, 'd',-25,'offset',0, 'modified', 'qlim',[-10*pi
Links(5) = Link('revolute','alpha',pi/2,'a',0, 'd',0, 'offset',0, 'modified', 'qlim',[-3*pi
Links(6) = Link('revolute','alpha',-pi/2,'a',0, 'd',0, 'offset',0, 'modified', 'qlim',[-2*pi

Epson_C4 = SerialLink(Links,'name','Epson C4','tool',T6b)
```

Epson\_C4 =

Epson C4 (6 axis, RRRRRR, modDH, fastRNE)

j	theta	d	a	alpha	offset
1	q1	32	0	0	0
2	q2	0	10	1.571	1.571
3	q3	0	25	0	0
4	q4	-25	0	-1.571	0
5	q5	0	0	1.571	0
6	q6	0	0	-1.571	0

```
grav = 0 base = 1 0 0 0 tool = 1 0 0 0
        0 0 1 0 0 0 0 -1 0 0
```

9.81	0	0	1	0	0	-1	-6.5
	0	0	0	1	0	0	1

```

for i=1:3
    L_P(i)=Links(i);
    L_O(i)=Links(i+3);
end

TV1=trotx(-pi/2)*transl([0 0 -25]);

Epson_C4_T = SerialLink(L_P,'name','Epson C4 T','tool',TV1)

```

Epson\_C4\_T =

Epson C4 T (3 axis, RRR, modDH, fastRNE)

j	theta	d	a	alpha	offset
1	q1	32	0	0	0
2	q2	0	10	1.571	1.571
3	q3	0	25	0	0

grav =	0	base =	1	0	0	0	tool =	1	0	0	0
	0		0	1	0	0		0	0	1	-25
	9.81		0	0	1	0		0	-1	0	-1.53081e-15
			0	0	0	1		0	0	0	1

```

Epson_C4_0 = SerialLink(L_O,'name','Epson C4 0','tool',T6b)

```

Epson\_C4\_0 =

Epson C4 0 (3 axis, RRR, modDH, fastRNE)

j	theta	d	a	alpha	offset
1	q1	-25	0	-1.571	0
2	q2	0	0	1.571	0
3	q3	0	0	-1.571	0

grav =	0	base =	1	0	0	0	tool =	1	0	0	0
	0		0	1	0	0		0	-1	0	0
	9.81		0	0	1	0		0	0	-1	-6.5
			0	0	0	1		0	0	0	1

A partir de aca el procedimiento se describe mediante imagenes, ésto debido a que la funcion **ikine\_sym** usa la funcion findsym de la libreria Symbolic Math Toolbox la cual no está disponible en las versiones actuales de Matlab por lo que el procedimiento debio ser llevado a cabo en la version 2017b de software y se muestra a continuacion.

```
SolT=Epson_C4_T.ikine_sym(3);
```

```
Sq1=SolT{1};  
q1_1=Sq1(1)
```

$$q1\_1 = \text{atan2}(-25 \, a_y - t_y, -25 \, a_x - t_x)$$

```
q1_2=Sq1(2)
```

$$q1\_2 = \text{atan2}(25 \text{ ay} + \text{ty}, 25 \text{ ax} + \text{tx})$$

```
Sq2=SolT{2};  
q2_1=Sq2(1)
```

$$\begin{aligned} & \text{atan2}(25, -\sqrt{625 C_1^2 a x^2 + 50 C_1^2 a x t x - 625 C_1^2 a y^2 - 50 C_1^2 a y t y + C_1^2 t x^2 - C_1^2 t y^2 + 1250 S_1 C_1 a x a y + 50 S_1 C_1 a x t y - 500 C_1 a x t x} \\ & + 50 a y t y - 500 S_1 a y + 625 a z^2 + 50 a z t z - 1600 a z + t y^2 - 20 S_1 t y + t z^2 - 64 t z + 499) - \text{angle}(25 a z i + t z i - 25 C_1 a x - 25 S_1 a y) \end{aligned}$$

$$q2\_2 = 5q2(2)$$

$$-\text{angle}(25 \text{ az } i + \text{tz } i - 25 C_1 \text{ ax} - 25 S_1 \text{ ay} - C_1 \text{ tx} - S_1 \text{ ty} + 10 - 32 i) + \text{atan2}(25, \sqrt{625 C_1^2 \text{ ax}^2 + 50 C_1^2 \text{ ax tx} - 625 C_1^2 \text{ ay}^2 - 500 C_1 \text{ ax} + 50 S_1 C_1 \text{ ay tx} + 2 S_1 C_1 \text{ tx ty} - 20 C_1 \text{ tx} + 625 \text{ ay}^2 + 50 \text{ ay ty} - 500 S_1 \text{ ay} + 625 \text{ az}^2 + 50 \text{ az tz} - 1600 \text{ az} + \text{ty}^2 - 20$$

```
Sq3=Solt{3};  
q3_1=Sq3(1)
```

$$- \sqrt{800 \, az + 32 \, tz - 10 \, \sigma_1 - 32 \, \sigma_2 + \frac{\cos(2 \, q_3)}{2} - 462 \, \cos(\sigma_3) + 320 \, \sin(\sigma_3) + 10 \, \cos(q_2) + 32 \, \sin(q_2) + 250 \, C_1 \, ax + 250 \, S_1 \, ay +$$



$$\begin{aligned}
& + \frac{625 ay^2 \cos(\sigma_3)}{2} - \frac{625 az^2 \cos(\sigma_3)}{2} + \frac{ty^2 \cos(\sigma_3)}{2} - \frac{tz^2 \cos(\sigma_3)}{2} - 25 az \sin(q_2) - tz \sin(q_2) - \frac{625 ay^2}{2} - \frac{625 az^2}{2} - \frac{625 C_1^2 ax^2}{2} + \frac{625 C_1^2 ay^2}{2} \\
& + S_1 ty \sigma_1 + \frac{C_1^2 tx^2 \cos(\sigma_3)}{2} - \frac{C_1^2 ty^2 \cos(\sigma_3)}{2} - 250 C_1 ax \cos(\sigma_3) - 800 C_1 ax \sin(\sigma_3) - 250 S_1 ay \cos(\sigma_3) - 10 C_1 tx \cos(\sigma_3) - 800 C_1 tx \sin(\sigma_3) \\
& - 25 C_1 ax \cos(q_2) - 25 S_1 ay \cos(q_2) - C_1 tx \cos(q_2) - S_1 ty \cos(q_2) + S_1 ty tz \sin(\sigma_3) + 25 C_1^2 ax tx \cos(\sigma_3) - 25 C_1^2 ay ty \cos(\sigma_3) \\
& + 25 C_1 az tx \sin(\sigma_3) + 25 S_1 ay tz \sin(\sigma_3) + 25 S_1 az ty \sin(\sigma_3) + C_1 tx tz \sin(\sigma_3) + 625 C_1 S_1 ax ay \cos(\sigma_3) + 25 C_1 S_1 ax ty \cos(\sigma_3)
\end{aligned}$$

where

$$\sigma_1 = \cos(q_2 + 2 q_3)$$

$$\sigma_2 = \sin(q_2 + 2 q_3)$$

$$\sigma_3 = 2 q_2 + 2 q_3$$

$$q3\_2 = Sq3(2)$$

$$q3\_2 =$$

$$\text{atan}(25) + \text{atan2}\left(32 \cos(q_2 + q_3) - 10 \sin(q_2 + q_3) + \sin(q_3) - 25 az \cos(q_2 + q_3) - tz \cos(q_2 + q_3) + 25 C_1 ax \sin(q_2 + q_3) + \dots\right)$$

$$\sqrt{800 az + 32 tz - 10 \sigma_1 - 32 \sigma_2 + \frac{\cos(2 q_3)}{2} - 462 \cos(\sigma_3) + 320 \sin(\sigma_3) + 10 \cos(q_2) + 32 \sin(q_2) + 250 C_1 ax + 250 S_1 ay + 10 C_1 tx + 800 C_1 ty}$$

$$\begin{aligned}
& + \frac{625 ay^2 \cos(\sigma_3)}{2} - \frac{625 az^2 \cos(\sigma_3)}{2} + \frac{ty^2 \cos(\sigma_3)}{2} - \frac{tz^2 \cos(\sigma_3)}{2} - 25 az \sin(q_2) - tz \sin(q_2) - \frac{625 ay^2}{2} - \frac{625 az^2}{2} - \frac{625 C_1^2 ax^2}{2} + \frac{625 C_1^2 ay^2}{2} \\
& + \frac{625 C_1^2 ax^2 \cos(\sigma_3)}{2} - \frac{625 C_1^2 ay^2 \cos(\sigma_3)}{2} + S_1 ty \sigma_1 + \frac{C_1^2 tx^2 \cos(\sigma_3)}{2} - \frac{C_1^2 ty^2 \cos(\sigma_3)}{2} - 250 C_1 ax \cos(\sigma_3) - 800 C_1 ax \sin(\sigma_3)
\end{aligned}$$

---


$$- 25 C_1 a_x \cos(q_2) - 25 S_1 a_y \cos(q_2) - C_1 t_x \cos(q_2) - S_1 t_y \cos(q_2) + S_1 t_z \sin(\sigma_3) + 25 C_1^2 a_x t_x \cos(\sigma_3) - 25 C_1^2 a_y t_y \cos(\sigma_3)$$

---


$$+ 25 C_1 a_z t_x \sin(\sigma_3) + 25 S_1 a_y t_z \sin(\sigma_3) + 25 S_1 a_z t_y \sin(\sigma_3) + C_1 t_x t_z \sin(\sigma_3) + 625 C_1 S_1 a_x a_y \cos(\sigma_3) + 25 C_1 S_1 a_x t_y \cos(\sigma_3)$$

```
Sol0=Epson_C4_0.ikine_sym(3);
```

```
Sq4=Sol0{1};
q4_1=Sq4(1)
```

q4\_1 =

$$\text{atan2}\left(\frac{13 \text{ ax}}{2} - \text{tx}, \frac{13 \text{ az}}{2} - \text{tz}\right)$$

```
q4_2=Sq4(2)
```

q4\_2 =

$$\text{atan2}\left(\text{tx} - \frac{13 \text{ ax}}{2}, \text{tz} - \frac{13 \text{ az}}{2}\right)$$

```
Sq5=Sol0{2};
q5_1=Sq5(1)
```

q5\_1 =

$$\text{atan2}\left(\frac{13 C_1 \text{ ax}}{2} - \frac{13 S_1 \text{ az}}{2} - C_1 \text{ tx} + S_1 \text{ tz}, \text{ty} - \frac{13 \text{ ay}}{2} + 25\right)$$

```
q5_2=Sq5(2)
```

q5\_2 =

$$\text{atan2}\left(\frac{13 S_1 \text{ az}}{2} - \frac{13 C_1 \text{ ax}}{2} + C_1 \text{ tx} - S_1 \text{ tz}, \frac{13 \text{ ay}}{2} - \text{ty} - 25\right)$$

```
Sq6=Sol0{3};
q6_1=Sq6(1)
```

q6\_1 =  $\text{atan2}(13 S_2 \text{ ay} - 50 S_2 - 2 S_2 \text{ ty} + 13 C_1 C_2 \text{ ax} - 13 C_2 S_1 \text{ az} - 2 C_1 C_2 \text{ tx} + 2 C_2 S_1 \text{ tz}, 13 C_1 \text{ az} + 13 S_1 \text{ ax} - 2 C_1 \text{ tz} - 2 S_1 \text{ ty} - 50 S_1 - 2 S_1 \text{ tx} + 2 S_1 \text{ tz})$

```
q6_2=Sq6(2)
```

q6\_2 =  $\text{atan2}(50 S_2 - 13 S_2 \text{ ay} + 2 S_2 \text{ ty} - 13 C_1 C_2 \text{ ax} + 13 C_2 S_1 \text{ az} + 2 C_1 C_2 \text{ tx} - 2 C_2 S_1 \text{ tz}, 2 C_1 \text{ tz} - 13 S_1 \text{ ax} - 13 C_1 \text{ az} + 2 S_1 \text{ ty} - 50 S_1 - 2 S_1 \text{ tx} + 2 S_1 \text{ tz})$

Para el uso de **ikcon** se debe establecer una pose específica arbitraria la cual se obtiene aleatoriamente de la siguiente manera.

```
dhparams = [0, 0, 0.32, 0;
             0.10, pi/2, 0, 0;
             0.25, 0, 0, 0;
             0, -pi/2, -0.25, 0;
             0, pi/2, 0, 0;
             0, -pi/2, 0, 0;
             0, pi, 0.065, 0];
robot = rigidBodyTree;
```

```

body1 = rigidBody('body1');
body2 = rigidBody('body2');
body3 = rigidBody('body3');
body4 = rigidBody('body4');
body5 = rigidBody('body5');
body6 = rigidBody('body6');
body7 = rigidBody('TCP');

jnt1 = rigidBodyJoint('jnt1','revolute');
jnt1.HomePosition = pi/2;
jnt2 = rigidBodyJoint('jnt2','revolute');
jnt2.HomePosition = pi/2;
jnt3 = rigidBodyJoint('jnt3','revolute');
jnt3.HomePosition = 0;
jnt4 = rigidBodyJoint('jnt4','revolute');
jnt4.HomePosition = 0;
jnt5 = rigidBodyJoint('jnt5','revolute');
jnt5.HomePosition = 0;
jnt6 = rigidBodyJoint('jnt6','revolute');
jnt6.HomePosition = 0;
jnt7 = rigidBodyJoint('jntTCP','revolute');
jnt7.HomePosition = 0;

setFixedTransform(jnt1,dhparams(1,:), 'mdh');
setFixedTransform(jnt2,dhparams(2,:), 'mdh');
setFixedTransform(jnt3,dhparams(3,:), 'mdh');
setFixedTransform(jnt4,dhparams(4,:), 'mdh');
setFixedTransform(jnt5,dhparams(5,:), 'mdh');
setFixedTransform(jnt6,dhparams(6,:), 'mdh');
setFixedTransform(jnt7,dhparams(7,:), 'mdh');

body1.Joint = jnt1;
body2.Joint = jnt2;
body3.Joint = jnt3;
body4.Joint = jnt4;
body5.Joint = jnt5;
body6.Joint = jnt6;
body7.Joint = jnt7;

addBody(robot,body1,'base')
addBody(robot,body2,'body1')
addBody(robot,body3,'body2')
addBody(robot,body4,'body3')
addBody(robot,body5,'body4')
addBody(robot,body6,'body5')
%addBody(robot,body7,'body6')
config_home = homeConfiguration(robot);
config = homeConfiguration(robot);

aik = analyticalInverseKinematics(robot);
opts = showdetails(aik);

```

-----

Robot: (6 bodies)

Index	Base Name	EE Body Name	Type	Actions
1	base	body6	RRRSSS	Use this kinematic group

```
aik.KinematicGroup = opts(1).KinematicGroup;  
disp(aik.KinematicGroup)
```

```
BaseName: 'base'  
EndEffectorBodyName: 'body6'
```

```
generateIKFunction(aik, 'willowRobotIK');  
rng(0);  
expConfig = randomConfiguration(robot)
```

expConfig = 1x6 struct

Fields	JointName	JointPosition
1	'jnt1'	1.9775
2	'jnt2'	2.5497
3	'jnt3'	-2.3437
4	'jnt4'	2.5973
5	'jnt5'	0.8316
6	'jnt6'	-2.5287

```
eeBodyName = aik.KinematicGroup.EndEffectorBodyName;  
baseName = aik.KinematicGroup.BaseName;  
expEEPose = getTransform(robot, expConfig, eeBodyName, baseName)
```

```
expEEPose = 4x4  
-0.5367 -0.8283 0.1612 0.0223  
0.7234 -0.3533 0.5932 -0.0517  
-0.4344 0.4349 0.7887 0.2148  
0 0 0 1.0000
```

```
qq=Epson_C4.ikcon(expEEPose)
```

```
qq = 1x6  
-1.8232 -2.5757 0.1192 3.1337 1.5939 2.3660
```

#### **Punto 4. Haga uso del RST para hallar la cinemática inversa de su robot asignado y compruebe los resultados anteriores.**

Aprovechando la creacion del modelo del robot en RST realizada en el codigo anterior y usando la funcion **analyticalInverseKinematics** que permite el calculo de una de las soluciones de cinemática inversa de forma analítica.

```
ikConfig = willowRobotIK(expEEPose, false);  
eeWorldPose = getTransform(robot, expConfig, eeBodyName);  
  
generatedConfig = repmat(expConfig, size(ikConfig,1), 1)
```

generatedConfig = 8x6 struct

	1	2	3	4	5	6
1	1×1 struct	1×1 struct	1×1 struct	1×1 struct	1×1 struct	1×1 struct
2	1×1 struct	1×1 struct	1×1 struct	1×1 struct	1×1 struct	1×1 struct
3	1×1 struct	1×1 struct	1×1 struct	1×1 struct	1×1 struct	1×1 struct
4	1×1 struct	1×1 struct	1×1 struct	1×1 struct	1×1 struct	1×1 struct
5	1×1 struct	1×1 struct	1×1 struct	1×1 struct	1×1 struct	1×1 struct
6	1×1 struct	1×1 struct	1×1 struct	1×1 struct	1×1 struct	1×1 struct
7	1×1 struct	1×1 struct	1×1 struct	1×1 struct	1×1 struct	1×1 struct
8	1×1 struct	1×1 struct	1×1 struct	1×1 struct	1×1 struct	1×1 struct

SS1=generatedConfig(1,:)

SS1 = 1x6 struct

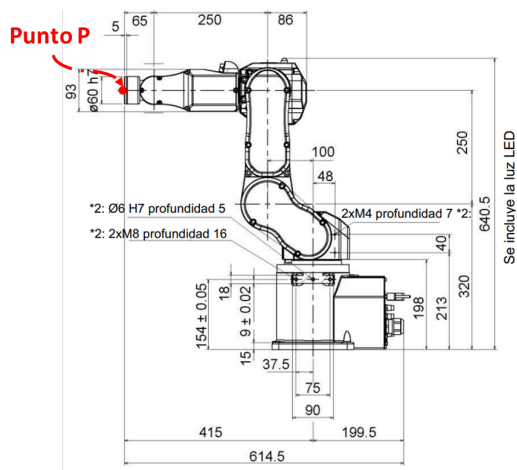
Fields	JointName	JointPosition
1	'jnt1'	1.9775
2	'jnt2'	2.5497
3	'jnt3'	-2.3437
4	'jnt4'	2.5973
5	'jnt5'	0.8316
6	'jnt6'	-2.5287

### **Punto 5. Compare los métodos.**

Para el caso se compara la función **ikcon** del Robotics Vision Control con la función **analyticalInverseKinematics** del Robotics System Toolbox, la principal diferencia entre éstos el método utilizado para realizar el cálculo de las soluciones, por un lado el primero utiliza un método numérico iterativo que permite la obtención de solo un conjunto de soluciones, por otro lado el segundo obtiene la solución de forma analítica calculando todas las soluciones de forma cerrada. Ambas funciones son compatibles con modelos de robot de seis grados de libertad.

### **Punto 6. Compruebe mediante su modelo geométrico inverso la configuración del robot para las posturas de la herramienta halladas en el anterior laboratorio, tales como puntos de calibración.**

El punto de calibración se encuentra en:



$J_1$	$J_2$	$J_3$	$J_4$	$J_5$	$J_6$	$x_P [mm]$	$y_P [mm]$	$z_P [mm]$	$\psi$	$\theta$	$\phi$
0	0	0	0	0	0	0	415	570	0	$\pi/2$	$\pi$

```
Configs = EpsonC4_IC([415 0 570 0 pi/2 pi])
```

Warning: Configuración 3 no valida

Warning: Configuración 4 no valida

```
Configs = 4x6
```

```

0      0      0      0      0      -0.0000
0 -90.0000 180.0000 0 -90.0000 0.0000
0      0      0      0      0      0
0      0      0      0      0      0

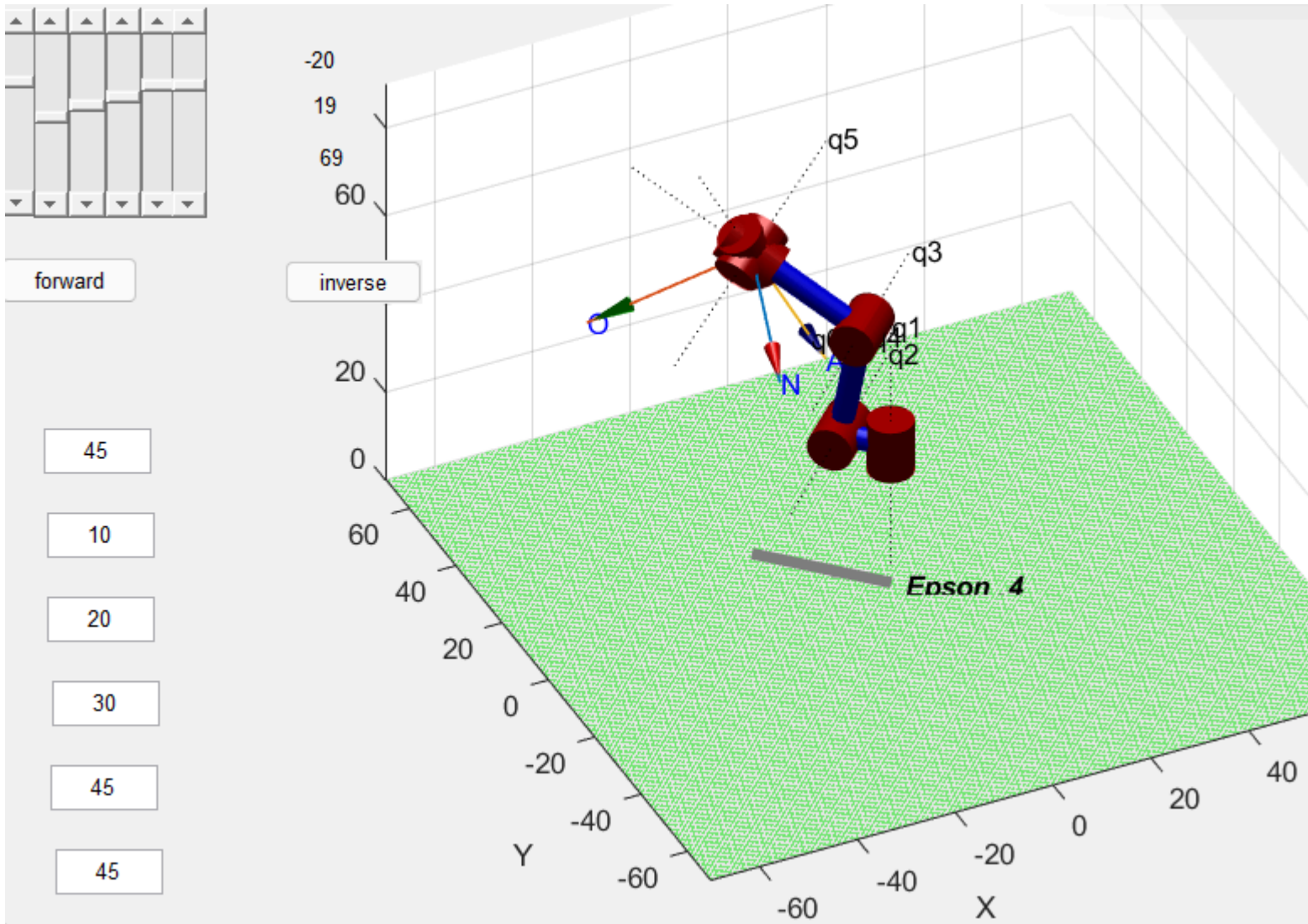
```

**Punto 7.** Proponga 4 posturas ( $x$ ,  $y$ ,  $z$ ,  $roll$ ,  $pitch$ ,  $yaw$ )' que estén dentro del espacio de trabajo y determine la configuración del manipulador y complete la tabla 1:

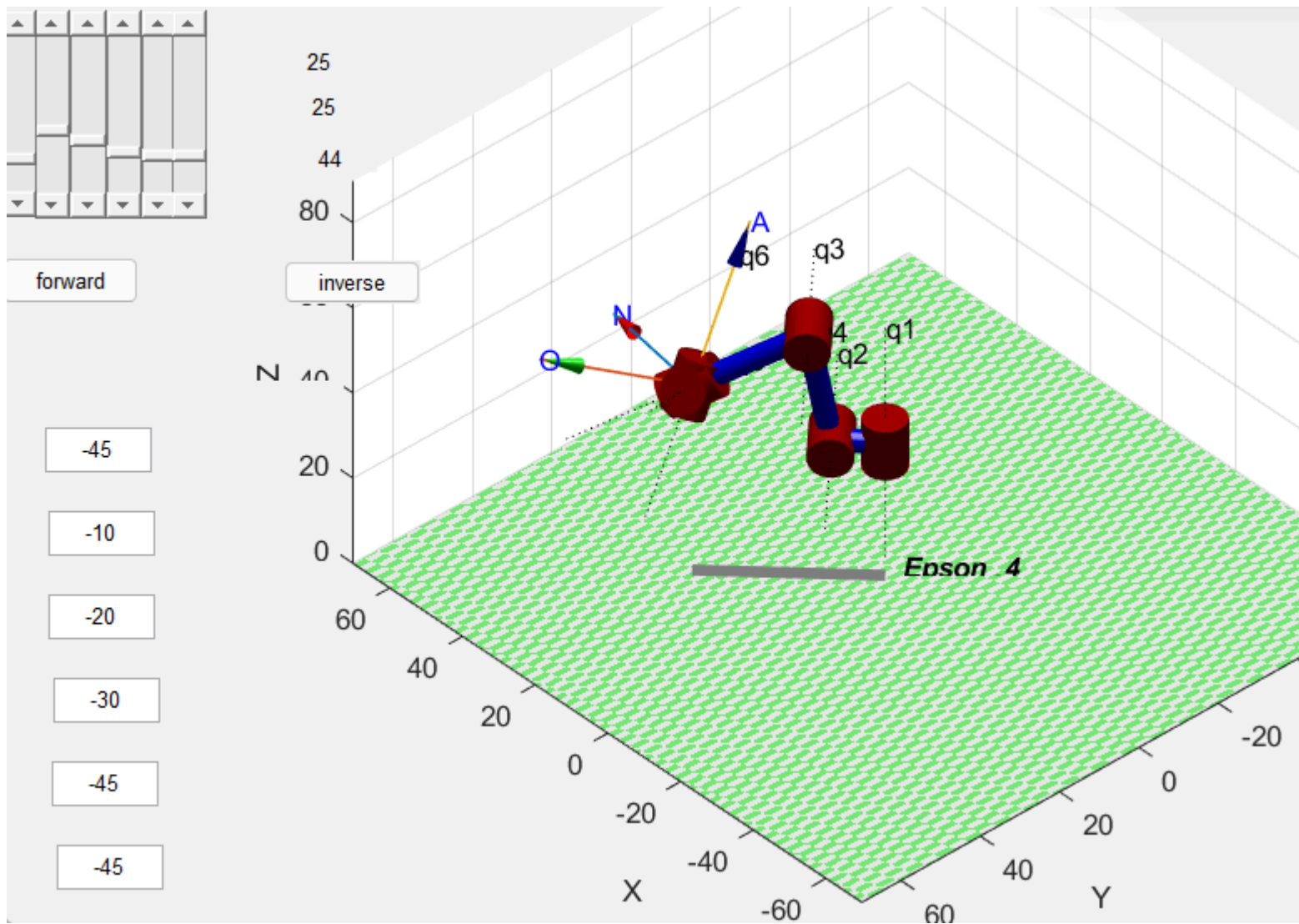
Tabla 1

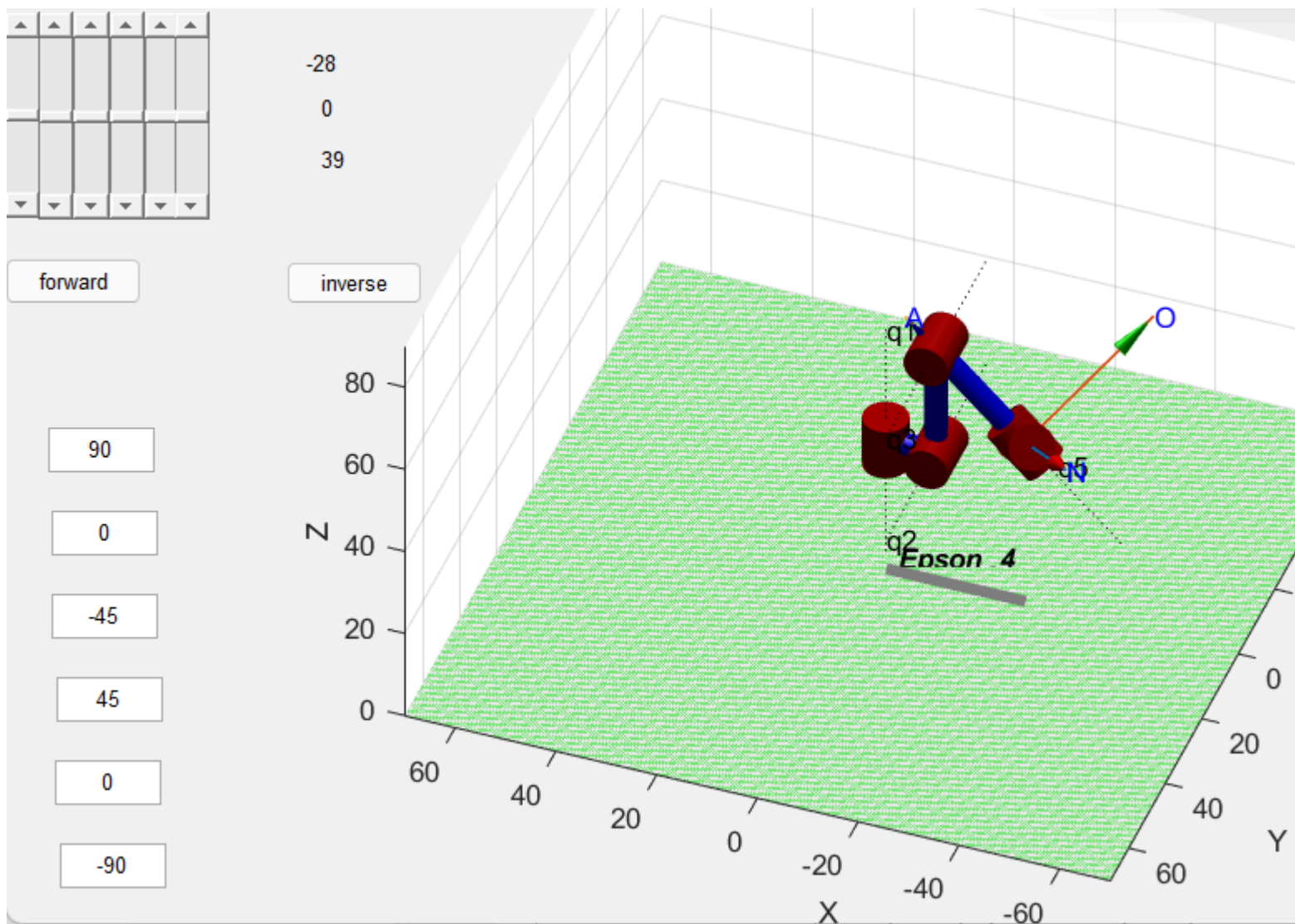
$x$	$y$	$z$	roll	pitch	yaw	$q_1$	$q_2$	$q_3$	$q_4$	$q_5$	$q_6$
10	20	30	45	10	20	45	10	20	30	45	45
-10	-20	-30	-45	-10	-20	-45	-10	-20	-30	-45	-45
-40	-20	20	35	5	10	90	0	-45	45	0	-90

**Punto 8.** Haciendo uso de la GUI verifique que con la configuración calculada se obtiene la postura indicada de la herramienta. Haga capturas de pantalla resaltando con cotas los valores  $x$  y  $z$ , e incluya en el informe los resultados









**Punto 9.** Actualice la GUI para que tenga la opción de ingresar la posición de la herramienta, obtener la configuración del robot mediante cinemática inversa y observar el robot en la posición. Compruebe su funcionamiento.